

具有时空卷积的 Wazwaz-Benjamin-Bona-Mahony方程孤立波 和周期波的不存在性

周笑笑

浙江师范大学数学科学学院, 浙江 金华

收稿日期: 2025年4月8日; 录用日期: 2025年5月2日; 发布日期: 2025年5月9日

摘要

本文研究具有时空卷积的Wazwaz-Benjamin-Bona-Mahony (WBBM)方程孤立波和周期波的存在性。根据几何奇异摄动理论, 将一个非线性偏微分方程转化为平面二维动力系统。基于Melnikov方法, 可以判断出扰动WBBM方程的孤立波和周期波是不存在的。

关键词

Wazwaz-Benjamin-Bona-Mahony方程, 几何奇异摄动, 孤立波解, 周期波解, Melnikov积分

Non-Existence of Solitary Wave and Periodic Wave for Wazwaz-Benjamin-Bona-Mahony Equation with Spatiotemporal Convolution

Xiaoxiao Zhou

School of Mathematical Sciences, Zhejiang Normal University, Jinhua Zhejiang

Received: Apr. 8th, 2025; accepted: May 2nd, 2025; published: May 9th, 2025

Abstract

This paper discusses the existence of solitary waves and periodic waves for Wazwaz-Benjamin-Bona-Mahony (WBBM) equation with spatiotemporal convolution. According to the theory of geometric singular perturbations, a nonlinear partial differential equation is transformed into a two-dimensional planar dynamical system. Based on the Melnikov method, it can be determined that solitary waves and periodic waves of perturbed WBBM equation do not exist.

文章引用: 周笑笑. 具有时空卷积的 Wazwaz-Benjamin-Bona-Mahony 方程孤立波和周期波的不存在性[J]. 应用数学进展, 2025, 14(5): 29-39. DOI: 10.12677/aam.2025.145230

在性。Qiao 和 Zhang [19] 利用 GSP 定理研究了 Keller-Segel 系统的动力学行为。Shen 和 Zhang [20] 证明了 FitzHugh-Nagumo 方程行波脉冲的存在性。Yan 等人 [21] 应用 GSP 理论和正则摄动分析来研究扰动广义 KdV 方程。Wen [22] 研究了扰动加德纳方程扭结波和反扭结波的存在性。Fan 和 Wei [23] 探索了五次方波 BBM 方程的周期波和孤立波的存在性。Zhang 等人 [24] 利用 GSP 定理研究了扰动 mKdV 方程。

受上述结果的启发，本文主要讨论了带有时滞的 WBBM 方程孤立波和周期波的存在性。方程形式如下：

$$u_t + u_x + \frac{1}{3} \left((f * u) u^2 \right)_y - u_{xzt} + \tau u_{xx} = 0, \quad (8)$$

$$u_t + u_z + \frac{1}{3} \left((f * u) u^2 \right)_x - u_{xyt} + \tau u_{xx} = 0, \quad (9)$$

$$u_t + u_y + \frac{1}{3} \left((f * u) u^2 \right)_z - u_{xxt} + \tau u_{xx} = 0, \quad (10)$$

其中， $0 < \tau \ll 1$ 。

文章的布局如下。在第 2 节中，利用行波变换和几何奇异摄动理论对 WBBM 方程降维。在第 3 节，由反证法知，摄动系统的孤立波解不存在。在第 4 节中，同样发现摄动系统的周期波解不存在。最后，对文章内容做了一个总结。

2. 模型的降维

在本节中，我们利用行波变换和 GSP 理论对模型进行简化，得到了一个二维系统。

首先，引入变换：

$$\phi(\xi) = u(x, y, z, t), \xi = x + y + z - ct, \quad (11)$$

令 $t - s = \varpi$ ，则局部卷积可化成如下形式：

$$\begin{aligned} (f * u)(x, y, z, t) &= \int_{-\infty}^t \frac{4(t-s)}{\tau^2} e^{-\frac{2(t-s)}{\tau}} u(x, y, z, s) ds \\ &= \int_{+\infty}^0 \frac{4\varpi}{\tau^2} e^{-\frac{2\varpi}{\tau}} u(x, y, z, t-\varpi) d(t-\varpi) \\ &= \int_0^{+\infty} \frac{4\varpi}{\tau^2} e^{-\frac{2\varpi}{\tau}} \phi(\xi + c\varpi) d\varpi \\ &= \int_0^{+\infty} \frac{4t}{\tau^2} e^{-\frac{2t}{\tau}} \phi(\xi + ct) dt. \end{aligned} \quad (12)$$

那么，方程(8)变成了一个常微分方程，形式如下：

$$(1-c)\phi' + \frac{1}{3} (\psi\phi^2)' + c\phi''' + \tau\phi'' = 0, \quad (13)$$

这里， $\psi(\xi) = \int_0^{+\infty} \frac{4t}{\tau^2} e^{-\frac{2t}{\tau}} \phi(\xi + ct) dt$ 。考虑现实意义，我们只分析 $c > 0$ 的情况。因为方程(8)~(10)化为常微分方程时有相同的形式，为了方便起见，我们只考虑方程(8)。

对方程(13)积分一次得：

$$(1-c)\phi + \frac{1}{3} \psi\phi^2 + c\phi'' + \tau\phi' = g, \quad (14)$$

这里， g 是积分常数。我们以 1 为临界点对波速 c 进行分类。当 $c > 1$ 时，令 $\kappa = \frac{\phi}{(c-1)^{\frac{1}{2}}}$, $G = \frac{g}{(c-1)^{\frac{3}{2}}}$ ，方程(14)转化为：

$$-\kappa + \frac{1}{3}\tilde{\psi}\kappa^2 + \frac{c}{c-1}\kappa'' + \frac{\tau}{c-1}\kappa' = G, \quad (15)$$

这里， $\tilde{\psi}(\xi) = \int_0^{+\infty} \frac{4t}{\tau^2} e^{-\frac{2t}{\tau}} \kappa(\xi + ct) dt$ 。

对 x 求导，我们有：

$$\begin{aligned} \frac{d\tilde{\psi}}{d\xi} &= \int_0^{+\infty} \frac{4t}{\tau^2} e^{-\frac{2t}{\tau}} \kappa_{\xi}(\xi + ct) dt \\ &= \int_0^{+\infty} \frac{4t}{c\tau^2} e^{-\frac{2t}{\tau}} \kappa_t(\xi + ct) dt \\ &= \frac{1}{c\tau} \left[2 \int_0^{+\infty} \frac{4t}{\tau^2} e^{-\frac{2t}{\tau}} \kappa(\xi + ct) dt - \int_0^{+\infty} \frac{4}{\tau} e^{-\frac{2t}{\tau}} \kappa(\xi + ct) dt \right] \\ &= \frac{1}{c\tau} (2\tilde{\psi} - \tilde{\omega}) \end{aligned} \quad (16)$$

这里， $\tilde{\omega} = \int_0^{+\infty} \frac{4}{\tau} e^{-\frac{2t}{\tau}} \kappa(\xi + ct) dt$ 。

按照同样的方法，可以推出：

$$\frac{d\tilde{\omega}}{d\xi} = \frac{2}{c\tau} (\tilde{\omega} - 2\kappa). \quad (17)$$

因此，方程(15)被重写为：

$$\begin{cases} \frac{d\kappa}{d\xi} = \nu, \\ \frac{d\nu}{d\xi} = \frac{c-1}{c} \left(G + \kappa - \frac{1}{3}\tilde{\psi}\kappa^2 - \frac{\tau}{c-1}\nu \right), \\ \tau \frac{d\tilde{\psi}}{d\xi} = \frac{1}{c} (2\tilde{\psi} - \tilde{\omega}), \\ \tau \frac{d\tilde{\omega}}{d\xi} = \frac{2}{c} (\tilde{\omega} - 2\kappa). \end{cases} \quad (18)$$

通过变换 $\xi = \tau\eta$ ，我们得到：

$$\begin{cases} \frac{d\kappa}{d\eta} = \tau\nu, \\ \frac{d\nu}{d\eta} = \frac{\tau(c-1)}{c} \left(G + \kappa - \frac{1}{3}\tilde{\psi}\kappa^2 - \frac{\tau}{c-1}\nu \right), \\ \frac{d\tilde{\psi}}{d\eta} = \frac{1}{c} (2\tilde{\psi} - \tilde{\omega}), \\ \frac{d\tilde{\omega}}{d\eta} = \frac{2}{c} (\tilde{\omega} - 2\kappa). \end{cases} \quad (19)$$

3) 当 $G = 0$ 时, 系统 $(26)|_{\tau=0}$ 有一个鞍点 $(0,0)$, 两个中心 $(\sqrt{3},0)$ 和 $(-\sqrt{3},0)$;

4) 当 $0 < |G| < \frac{2}{3}$ 时, 系统 $(26)|_{\tau=0}$ 有一个鞍点和两个中心。

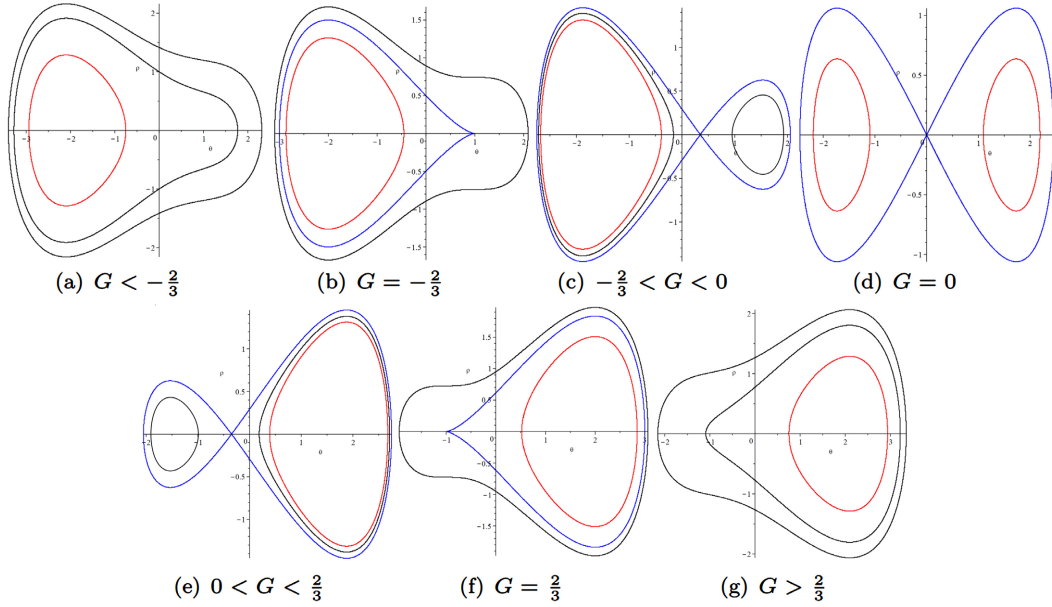


Figure 1. Phase plane of the unperturbed system $(26)|_{\tau=0}$ when $c > 1$

图 1. 当 $c > 1$ 时, 未扰系统 $(26)|_{\tau=0}$ 的相平面

当 $0 < c < 1$ 时, 令 $\kappa = \frac{\phi}{(1-c)^{\frac{1}{2}}}, G = \frac{g}{(1-c)^{\frac{3}{2}}}$, 我们获得对应的二维正则系统如下:

$$\begin{cases} \frac{d\kappa}{d\xi} = \nu, \\ \frac{d\nu}{d\xi} = \frac{1-c}{c} \left(-\frac{1}{3}\kappa^3 - \kappa + G \right) + \tau \left(\frac{c-1}{3}\nu\kappa^2 - \frac{1}{c}\nu \right) + O(\tau^2). \end{cases} \quad (27)$$

对应的未扰系统是:

$$\begin{cases} \frac{d\kappa}{d\xi} = \nu, \\ \frac{d\nu}{d\xi} = \frac{1-c}{c} \left(-\frac{1}{3}\kappa^3 - \kappa + G \right). \end{cases} \quad (28)$$

通过分析未扰系统(28), 我们知道未扰系统(28)有一个平衡点且是中心。系统(28)的轨迹是一簇围绕着中心的轨道, 而且没有同宿轨道, 这不在我们的考虑范围内。类似地, 当 $c = 1$ 时, 我们可以推出它的情况与 $0 < c < 1$ 时相似。

3. WBBM 方程孤立波解的存在性

当 $\tau = 0$ 时, 我们已经在文献[30]中讨论过随着参数取值的不同, 未扰系统存在四种孤立波。因此, 在这一章节中, 我们结合 Melnikov 方法, 主要讨论扰动系统(8)孤立波解的存在性。

- Journal of Differential Equations*, **306**, 418-438. <https://doi.org/10.1016/j.jde.2021.10.033>
- [26] Zheng, H. and Xia, Y. (2023) The Solitary Wave, Kink and Anti-Kink Solutions Coexist at the Same Speed in a Perturbed Nonlinear Schrödinger Equation. *Journal of Physics A: Mathematical and Theoretical*, **56**, Article ID: 155701. <https://doi.org/10.1088/1751-8121/ac2fc>
- [27] Zheng, H. and Xia, Y. (2024) Bifurcation of the Travelling Wave Solutions in a Perturbed (1 + 1)-Dimensional Dispersive Long Wave Equation via a Geometric Approach. *Proceedings of the Royal Society of Edinburgh: Section A Mathematics*, 1-28. <https://doi.org/10.1017/prm.2024.45>
- [28] Fenichel, N. (1979) Geometric Singular Perturbation Theory for Ordinary Differential Equations. *Journal of Differential Equations*, **31**, 53-98. [https://doi.org/10.1016/0022-0396\(79\)90152-9](https://doi.org/10.1016/0022-0396(79)90152-9)
- [29] Li, J. (2013) Singular Nonlinear Travelling Wave Equations: Bifurcations and Exact Solutions. Science Press.
- [30] Xia, Y., Xiao, H. and Zhou, X. (2025) Solitary and Periodic Waves for the Perturbed Wazwaz-Benjamin-Bona-Mahony Equation. Preprint.
- [31] Wiggins, S. (1990) Introduction to Applied Nonlinear Dynamical Systems and Chaos. Springer-Verlag.
- [32] Wiggins, S. (1998) Global Bifurcations and Chaos. Springer-Verlag.
- [33] Liu, C. and Xiao, D. (2013) The Monotonicity of the Ratio of Two Abelian Integrals. *Transactions of the American Mathematical Society*, **365**, 5525-5544. <https://doi.org/10.1090/s0002-9947-2013-05934-x>